

報文
화학공학, 제9권 제1호
J. KICHE. Vol. 9, No. 1,
Apr. 1971

Some Physical Properties of the Polymers with Heterocyclic Rings

洪錫柱*

Some Physical Properties of the Polymers with Heterocyclic rings

*Suck-Ju Hong

Kon-Kuk University, Seoul, Korea.

Abstract

The polyphenyleneisoxazolines were prepared by the condensations of m-Phenylenebismaleimide and ethylenebisacrylamide with terephthalohydroxamoyl chloride. Then their physical properties, solution property, crystallinities, and electronic properties, were investigated.

1. 서 론

最近 functional polymer 즉 機能性高分子材料의 開發研究에 따라 분자의 main chain에 heterocyclic ring 을 포함하는 polyaromatics 의 합성연구가 활발히 전개되어 내열성을 비롯하여 분자의 결정구조와 electric conductivity 와의 관련등 물리적 특성의 해명이 흥미있는 과제로서 등장하고 있다. 이러한 고분자의 구조와 물성의 관련연구는 재료화학적인 견지에서 기초 연구로서 매우 중요한 의미가 있다. 또한 용액중에서의 고분자의 거동 역시 흥미있는 과제의 하나이다.

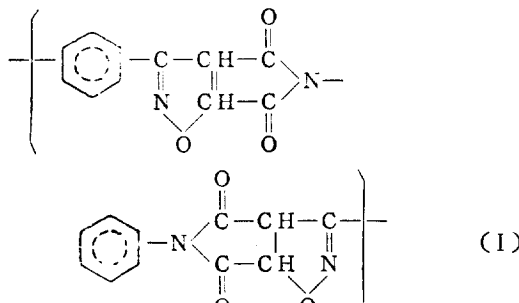
고체물성면의 연구성과로서는 Polyacetylene¹⁾, Polyene²⁾, Polyschiff base³⁾, Polyacene quinone polymer, Heterocyclic bisbenzimidazole polymer⁴⁾, Polycopper-phthalocyanine⁵⁾, Polypyrrroles 등의 Polyheterocyclics⁶⁾ 등 주로 polymer의 chain의 conjugated system

로 이루어진것들에 대한 전기전도도에 관한 연구는 흥미있는 대표적 예들이고, 이를 외에도 많은 연구가 오늘에 이르기까지 부단히 시도되고 있다. 그러나 최근에 이르러서는 분자 구조가 완전공액계(fully conjugated)가 아닌 heterocyclics polymer에 관한 연구가 되고 있는바 main chain에 rhodanine ring을 포함하는 고분자의 전기물성⁷⁾은 이방면 연구의 approach로서 흥미있는 성과의 하나이다. 일반으로 분자구조가 완전공액계가 아닌 heterocyclic ring을 포함하는 고분자에 대한 용액론 및 고체물성에 관한 연구는 문현에 그 기재가 희소(稀少)하다. 따라서 본연구에서는 분자의 main chain에 heterocyclic ring인 isoxazoline ring을 포함하는 polyaromatics 를 전보⁸⁾와의 관련 연구로써, 이를의 공액에서의 절도특성 및 결정성과 전기전도도에 대하여 기술코자 한다.

2. 실험결과 및 고찰

점도특성

Terephthalohydroxamoyl chloride와 m-phenylene-bismaleimide의 중축합으로 얻는 polyphenylene-isoxazoline (I)를 시료로 하여 30°C에서 ubbelohde viscometer를 써서 점도를 측정하였다.



Decomposing point > 262°C

$[\eta] = 0.1 \text{ de/g}$ in DMF at 30°C

DMF 중에서 측정한 점도치 ($[\eta] = 0.1$)에서 Huggins k' ⁽⁹⁾ 값은 0.58이 된다. 이와같이 큰 k' 값을 나타내는 것은 DMF 용매와 분자간의 interaction이 비교적 적기 때문에 용매중에서 비교적 rigid coiled molecule로서 존재하기 때문이라고 생각된다⁽¹⁰⁾.

oil polymer는 heterocyclic ring을 포함하는 polyphenylene type의 것에서 흔히 볼 수 있는바와 같이 aromatic hydrocarbon에는 잘 녹지 않으나 DMF 등의 polar solvent에 녹는다.

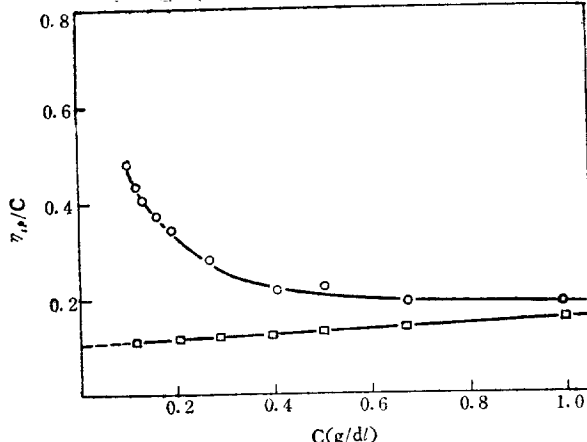


Fig. 1 The Dependence of η_{sp}/C on Concentration.
□ in DMF △ in 98% Sulfuric Acid

그리나, Fig. 1에서 보는 바와 같이 98% 황산중에서의 (I)의 reduced viscosity는 polymer의 농도가 회색됨에 따라 상승하여 DMF 중에서의 점도와는 상반되는 concave-upward의 곡선을 나타낸다. $C^{\frac{1}{2}}$ 와 C/η_{sp}

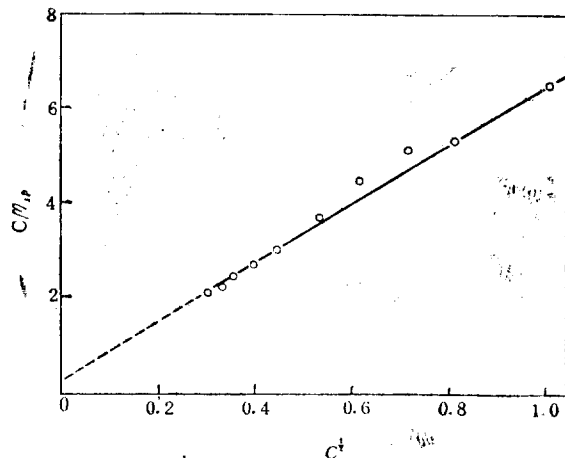


Fig. 2 $C^{\frac{1}{2}}$ Versus C/η_{sp} According to the Fuoss Empirical Equation

의 관계를 Fuoss empirical equation⁽¹¹⁾에 따라 plot하면 직선이 얻어진다(Fig. 2).

$$\eta_{sp}/C = A(1 + BC^2)$$

C: 농도, A: 농도가 0으로 접근할 때의 limiting viscosity number.

B: Polyion과 counter ion 간의 electrostatic force로서 $A \times \text{Slope} (B/A)$.

이와같은 결과로서 (I)은 98% 황산중에서 고분자 전해질적 점도특성을 나타냈다. (I)은 염기성 고분자이므로⁽¹²⁾ 황산중에서 isoxazoline ring 중의 unpaired electron에 황산의 proton이 protonation을 일으키고 있는 것으로 생각된다. 이와같이 protonation에 의해서 positively charged polymer가 정전기적으로 서로 반발하게 되고 고분자의 농도를 회복하여가면 polymer의 positive charge가 커지고 황산중에서의 coiled polymer의 expansion이 점차 확대되어 간다. 따라서 고분자의 농도가 회복됨에 따라서 reduced viscosity는 커지게 된다고 믿는다.

(I)—황산용액을 물로써 칠전시켜 물 및 5%-sodium carbonate solution으로 충분히 세척. 정제한후 회수된 polymer (I-R)의 원소분석 및 IR 측정을 한바 황산용액중에서의 점도측정에서 isoxazoline의 ring opening으로 인한 polymer의 hydrolysis이 일어나지 않았다는 것을 확인하였다. 이러한 실험결과는 황산용액 중에서의 reduced viscosity의 증가는 위에서 말한 protonation에 의한다는 것을 뒷 받침하여 주고 있는듯 하다.

Calculated for $(C_{22}H_{12}O_6N_4)_n$ (I): N 13.08%

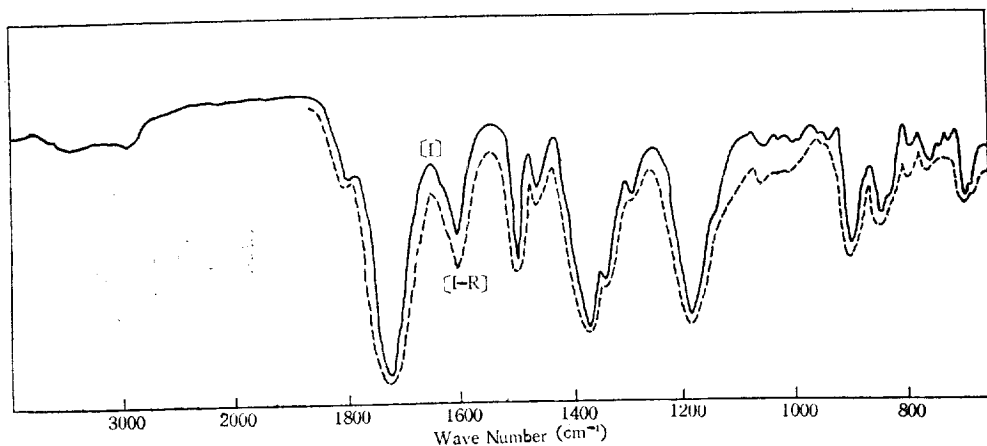


Fig. 3 The IR Spectra of Polyphenylene-Isoxazolines, (I) and (I-R). $\mu_c=0$ of Imide: 1790, 1725 cm^{-1} (KBr)

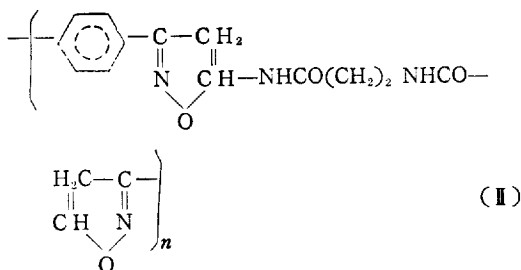
Found for (I): N. 12.06%

Found for (I~R): N. 12.02%

결합에 의한 수소결합으로 말미아마 3차원적 구조를 형성하는데 기인된다고 생각 된다.

X-선회절도

Fig. 4는 isoxazoline ring의 사이에 NHCO 결합을 포함하는 (II)와 (I)의 X-선회절도이다. (I)에서는 분자중의 모든 phenylene group 가 p-position 으로 link 되어 있지 않기 때문에 Δ^2 -isoxazoline linkage의 configuration unit. (dl 및 meso의) random ordination¹³⁾이 예상되어 질수 있다. 따라서 결정구조가 규칙적으로 배열되지 못하므로써 결정성의 저하(poor crystallinity)를 초래하였다고 생각 된다. 그러나 amide group (NHCO)를 포함하는 (II)는 높은 결정성을 보여 주고



$\eta_{sp}/C=0.25$ (0.1 g/dl-dichloroacetic acid)
at 30°C

IR: $\nu_{N-H}=3475 \text{ cm}^{-1}$ (Nujol)

있다. 이것은 결정의 배열이 규칙적이고 또한 NHCO

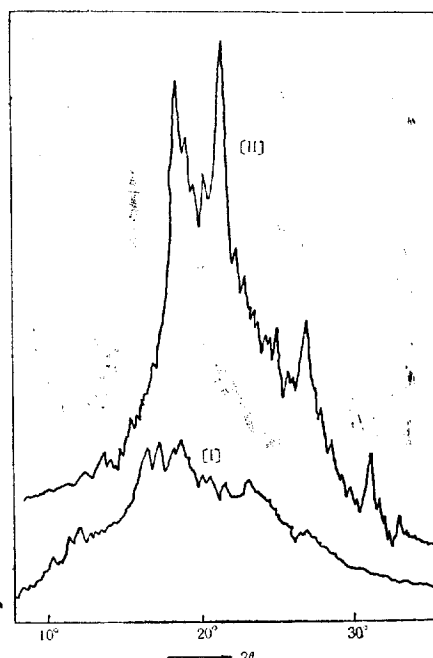


Fig. 4 The X-ray Diffraction Diagrams of (I) and (II)

다음 Table 1. 은 승온법에 의한 (I) 및 (II)의 전기전도도의 측정결과이다.

Table 1.의 결과에서 ρ 와 $1/T$ 의 관계를 plot하면 그림과 같은 직선이 얻어 진다.

Table 1. Electric Conductivities of (I) and (II)※

Temp (°C)	1/T × 10 ⁻³ (°K)		I(Amp)		R(Ω)		ρ(Ω·cm)		σ(Ω ⁻¹ cm ⁻¹)	
	I	II	I	II	I	II	I	II	I	II
28		3,3206		1.925×10 ⁻⁸		1.582×10 ⁸		3.800×10 ⁸		2.63×10 ⁻¹⁰
29		3,3096		2.500×10 ⁻⁷		1.220×10 ⁷		3.048×10 ⁷		3.281×10 ⁻⁹
46		3,1333		3.350×10 ⁻⁶		9.104×10 ⁶		2.190×10 ⁶		4.56×10 ⁻¹⁰
49		3,1041		8.800×10 ⁻⁷		3.466×10 ⁶		8.658×10 ⁵		1.155×10 ⁻⁸
57		3,0289		4.500×10 ⁻⁸		6.778×10 ⁷		1.631×10 ⁸		6.131×10 ⁻¹⁰
78		2,8478		7.400×10 ⁻⁶		4.122×10 ⁷		9.918×10 ⁸		4.726×10 ⁻⁸
96		2,7089		1.800×10 ⁻⁶		1.694×10 ⁷		4.232×10 ⁶		2.363×10 ⁻⁷
125		2,5116		4.2×10 ⁻⁵		7.262×10 ⁴		1.814×10 ⁶		5.313×10 ⁻⁷
140		2,4202		2.500×10 ⁻⁷		1.220×10 ⁷		2.935×10 ⁸		3.407×10 ⁻⁹

※ Sample weight: (I)=92.5mg (II)=74.5mg

Sample thickness (l): (I)=0.543mm (II)=0.523mm

단면적 (S): (I)=1.3067cm² (II)=1.3067cm²전 압 (E): E_(I)=3.05 Volt E_(II)=3.05 Volt

$$R=E/I \quad \rho=R \cdot \frac{S}{l} \quad \sigma(\text{전기전도도})=1/\rho$$

(I) 및 (II)의 저항의 변화는 intrinsic semiconductor에 적용되는 일반식을 만족하고 있다.

$$\rho=\rho_0 e \Delta E g^{e/2kT}$$

k: Boltzmann's Constant

△Eg: energy gap

그림에서의 직선의 slope에서 구한 highest filled energy level과 lowest unfilled energy level과의 energy gap 즉 활성화에너지는 각각 다음과 같다.

$$\Delta E_g(I)=0.486 \text{ e.v. } (28-140^\circ\text{C})$$

$$\Delta E_g(II)=1.107 \text{ e.v. } (29-125^\circ\text{C})$$

Table 1. 및 그림에서의 결과로서 본연구에서 (I) 및 (II)는 전형적 semiconductor의 성질을 나타내고 있다.

(I)이 높은 전기전도도를 나타내는 것은 Fig. 3에서 보는 바와 같이 crystallinity가 낮고 그분자의 단위주조중에 phenyl group가 보다 많이 들어 있어 mobile π-electron의 수가 많은데 기인한다고 생각된다. 즉 분자간에서 π-전자계의 over-lap의 possibility가 (II)보다 크고 interaction의 가능성 역시 크고, highest filled energy level과 lowest unfilled energy level 간의 △Eg(I)가 낮기 때문에 electric conductivity가 커지게 된다고 생각된다. 완전공액체는 아니지만 이와같이 phenyl group이 많이 포함되어 있는 heterocyclic ring polymer에서도 분자간의 excited electron의 수급(受給)이 비교적 용이하므로써 전기전도가 있게 된다는 것을 알 수 있다. 그러나 methylene group와 amide group를 분자중에 포함하고 있는 (II)는 그 결

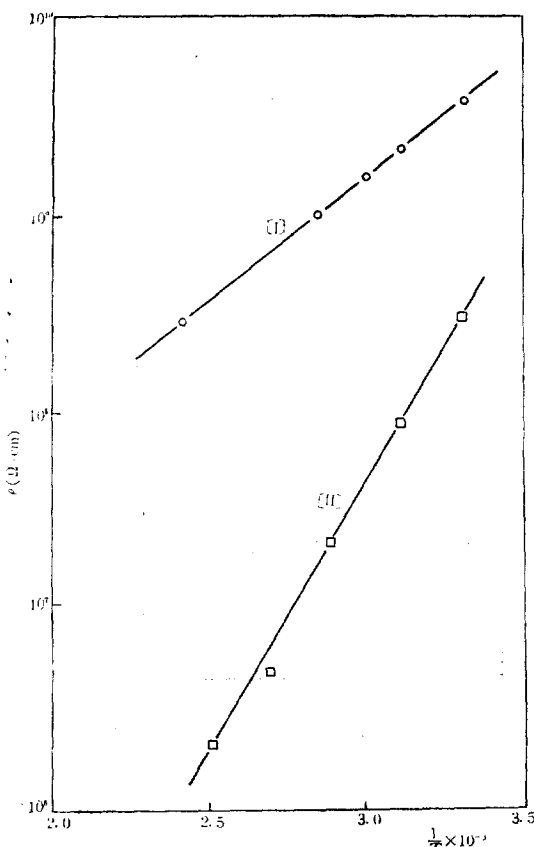


Fig. 5 Electric Conductivities Versus 1/T

정도(crystallinity)가 높고 NHCO 결합에 의한 분자간의 수소결합에 의하여 3차원적 결구조가 기대 되기 때문에 전기전도도를 나타내는 기본인자를 갖추고 있다고 생각 된다. 즉 분자구조단위가 비교적 구칙으로 연속되어 결정성이 비교적 좋은 반면에 공액하고(conjugation) 있는 부분이 적기 때문에 위에서 말한 π -electron 간의 상호작용이 적다고 생각 되므로 ΔE_g (II)는 크고, 전기전도도가 (I)보다 적다고 추론된다. 또한 heterocyclic ring 즉 isoxazoline 중의 unpaired electron 이 전기전도도에 기여하는 요인의 하나라고 생각 된다¹⁴⁾. 즉 이것에 의한 분자간의 상호작용도 예상할 수 있기 때문이다.

지금 (I)의 고체상태에서의 electron spin resonance를 관찰하면 singlet의 상자성공홀수를 나타내고 있다. 이때 흡수곡선의 minimum과 maximum point 간의 거리 즉 ΔH_{msl} 는 20.9 gauss로서 line width가 넓다. 이로써 electric conductivity를 나타낼 수 있는 기본조건인 unpaired electron의 존재를 확인할 수 있다. 이상과 같은 결과로써 (I)과 (II)는 고분자반도체 태그 결론을 수 있다. 그러나 전도의 기구(Conduction mechanism)에 대하여는 아직 불명하고 이에 관한 연구는 현재 검토중이다.

3. 실험 방법

시료

Terephthalohydroxamoyl chloride 와 m-phenylene-bismaleimide (I)와 ethylene bisacrylamide (II)를 틀루엔 중에서 각각 환류 중축합시켜 얻은 반응생성물을 여과한 후 메타놀로서 침전시켜 고체 polymer를 단리하였다. 그리고 이들을 다시 메타놀중에서 가열 추출(20시간)하여 충분히 정제하여 진공건조시킨 후 측정용 시료로 하였다.

점도의 측정

30°C로 조절된 물이 들어 있는 항온조속에서 ubbe-lohde viscometer를 써서 측정하였다.

X-선회질도

위의 방법으로 충분히 정제한 시료를 측정용 cell에 고정하여 powder method로써, nickel-filtered CuK α 를 사용하여 X-선회질도를 관측하였다. 사용한 기계는 Rigaku-Denki 회사제의 X-선 분석장치이다.

전기전도도의 측정

미분말시료를 약 110°C/aspirator 하에서 10시간 건조후 200 kg/cm²로 가압 성형하였다. 그리고 정평하여 전기전도도 측정 cell에 넣어 가압(40~50 kg/cm²)하에

서 승온법으며 측정하였다. 일정온도에서 30분간 유지하여 전압을 부가한 후 평형에 도달시킨 후 측정하였다.

e. s. r

(I)을 고체상태로 측정용 cell에 넣어 26°C에서 측정하였고 사용한 기계는 Jeol사제 electron spin resonance model ME-3X였다.

끝으로 본연구의 편의와 유익한 조언을 하여주신 동경대학의 이와구라 교수 및 우노교수, 그리고 전도도의 측정편의를 도모하여 주신 지바대학의 히로하시씨에게 깊은 사의를 표합니다.

참고문헌

- M. Hatano, S. Kambara and S. Okamoto, *J. Polymer Sci.*, **51**, 156 (1961).
- I. Moritani, *Kogyo Kagaku Zasshi*, **68**, 296 (1965).
- A. V. Topchiev, V. V. Korshak, *J. polymer Sci.*, **C1**, 1305 (1963).
- H. A. Pohl, *J. polymar Sci.*, PartA, 2787 (1964).
- N. Grassie, J. N. Hay, *ibid.*, **56**, 189 (1962).
- R. McNeill et al., *Australian J. Chem.* **16**, 1056 (1963).
- B. A. Bolto et al., *ibid.*, **16**, 1090 (1963).
- " " " " 1076 (1963).
- A. Hirohashi, *Kogyo Kagaku Zasshi* **71**, 1744 (1968).
- S. J. Hong, Y. Iwakura, and K. Uno, *Polymer Journal* No. 2, vol 7. 1971. (in press).
- M. L. Huggins, *J. Amer. Chem. Soc.*, **64** 2716 (1942).
- M. L. Miller, "The structure of polymers", Reinhold publishing Corporation, New York, p. 181 (1966).
- R. M. Fuoss, *J. Polymer Sci.*, **3**, 603 (1948).
- R. J. Gillespie, J. A. Leiten, *Quarterly Reviews*, **8**, 40 (1954).
- S. Shiraishi, M. Akiyama, Y. Iwakura, *Bull. Chem. Soc., Japan* **41**, 1648 (1968).
- A. Hirohashi in PhD Thesis. Tokyo, Japan, (1970).